

Identification of the effect of lncRNA MT1JP on cell proliferation, migration, and apoptosis in lung cancer cells

Nooshin Samimi¹ , Abbas Doosti^{2*} , Abbas Mirzaei^{1,3} 

¹ Dept of Biology, Shahrekord Branch, Islamic Azad University, Shahrekord, Iran

² Biotechnology Research Center, Shahrekord Branch, Islamic Azad University, Shahrekord, Iran

³ Cellular and Molecular Research Center, Basic Health Sciences Research Institute, Shahrekord University of Medical Sciences, Shahrekord, Iran

Article Info

ABSTRACT

Article type:

Research article

Article History:

Received: 02 October 2022
Revised: 28 November 2022
Accepted: 05 December 2022
Published Online: 12 September 2023

*** Correspondence to:**

Abbas Doosti
Biotechnology Research Center,
Shahrekord Branch, Islamic
Azad University, Shahrekord,
Iran
Email:
bio.gene84@gmail.com

Introduction: Cancer is a complex disease in which gene expression changes. This study was conducted with the aim of investigating the effects of MT1JP lncRNA in controlling lung cancer cells.

Material & Methods: TC-1 [JHU-1] cells were transfected with pcDNA3.1(+)-MT1JP, Plko.1-EGFP-PURO-siRNA and empty plasmids, and the expression of MT1JP gene and siRNA fragment was confirmed by RT-PCR reaction. The role of MT1JP in migration was investigated by scratch assay and apoptosis by flow cytometry. The expression change of candidate genes involved in apoptosis and cell proliferation (Bim, AKT, Bax and Bcl-2) was evaluated by q-PCR reaction.

Findings: The results showed that the expression of Bim gene showed a significant increase in the presence of high expression of MT1JP, while the expression of Bim gene decreased significantly with silencing of MT1JP by siRNA. The expression of Bax and Bcl-2 genes showed a significant increase and decrease, respectively, in the presence of high expression of MT1JP. In the cells transfected with pcDNA3.1(+)-MT1JP, the AKT gene showed a decrease in expression, and on the other hand, in the cells transfected with siRNA, the AKT gene had a significant increase in expression ($p < 0.05$). Also, the scratch assay results showed that MT1JP lncRNA has an inhibitory role on cell migration. Flow cytometry data showed that transfection by pCDNA3.1(+)-MT1JP could increase cell apoptosis levels.

Discussion & Conclusion: The present study showed that lncRNA MT1JP inhibits cell proliferation and migration and at the same time increases apoptosis of TC-1 [JHU-1] cells. This study may help improve our understanding of lung cancer; however further studies are needed.

Keywords: lung cancer, MT1JP, TC-1 cell [JHU-1], q-PCR, apoptosis

➤ How to cite this paper

Samimi N, Doosti A, Mirzaei A. Identification of the effect of lncRNA MT1JP on cell proliferation, migration, and apoptosis in lung cancer cells. Journal of Ilam University of Medical Sciences. 2023;31(3): 97-109.



© The Author(s)

Publisher: Ilam University of Medical Sciences

شناسایی تأثیر IncRNA MT1JP بر تکثیر، مهاجرت و آپوپتوز سلولی در سلول‌های سرطان ریه

نوشین صمیمی^۱, عباس دوستی^{۲*}, سید عباس میرزابی^{۱,۳}

^۱ گروه زیست شناسی، واحد شهر کرد، دانشگاه آزاد اسلامی، شهر کرد، ایران

^۲ مرکز تحقیقات بیوتکنولوژی، واحد شهر کرد، دانشگاه آزاد اسلامی، شهر کرد، ایران

^۳ مرکز تحقیقات سلولی و مولکولی، پژوهشکده علوم پایه سلامت، دانشگاه علوم پزشکی شهر کرد، شهر کرد، ایران

اطلاعات مقاله چکیده

نوع مقاله: پژوهشی

تاریخ دریافت: ۱۴۰۱/۰۷/۱۰

تاریخ ویرایش: ۱۴۰۱/۰۹/۰۷

تاریخ پذیرش: ۱۴۰۱/۰۹/۱۴

تاریخ انتشار: ۱۴۰۲/۰۶/۲۱

مقدمه: سرطان بیماری پیچیده‌ای است که در آن بیان ژن‌ها تغییر می‌کند. این مطالعه با هدف بررسی تأثیرات MT1JP

IncRNA در کنترل سلول‌های سرطان ریه انجام شده است.

مواد و روش‌ها: سلول‌های TC-1[JHU-1] با پلاسمیدهای Plko.1-EGFP-PURO-MT1JP، pcDNA3.1(+)-MT1JP و siRNA و پلاسماید خالی ترسنگت شدند و بیان ژن MT1JP و قطعه siRNA توسط واکنش RT-PCR تأیید گردید. نقش MT1JP در مهاجرت توسط آزمون سنجش خراش و آپوپتوز توسط فلوسیتومتری بررسی شد. تغییر بیان ژن‌های کاندید دخیل در آپوپتوز و تکثیر سلولی را با PCR (توسط واکنش q-PCR) ارزیابی شد.

یافته‌های پژوهش: نتایج نشان داد که بیان ژن Bim در حضور بیان بالای MT1JP، افزایش معنی‌داری را نشان داد در صورتیکه با خاموش‌سازی MT1JP توسط siRNA، بیان ژن Bim بهطور معنی‌داری کاهش یافت. بیان ژن‌های Bcl-2 و Bax در حضور بیان بالای MT1JP به ترتیب افزایش و کاهش معنی‌داری را نشان دادند. در سلول‌های ترسنگت شده با AKT-pcDNA3.1(+)-MT1JP، ژن AKT کاهش بیان را نشان داد و در مقابل در سلول‌های ترسنگت شده با AKT siRNA افزایش بیان معنی‌داری داشت ($p < 0.05$). همچنین نتایج سنجش خراش نشان داد که MT1JP IncRNA نقش بازدارنده‌گی بر مهاجرت سلولی دارد. داده‌های فلوسایتومتری نشان داد که ترانسفکشن توسط MT1JP (+)-pcDNA3.1(+) می‌تواند سطوح آپوپتوز سلولی را افزایش دهد.

بحث و نتیجه‌گیری: مطالعه حاضر نشان داد که IncRNA MT1JP باعث مهار تکثیر و مهاجرت سلولی و در عین حال سبب افزایش آپوپتوز سلول‌های TC-1[JHU-1] می‌شود. این مطالعه ممکن است به بهبود در رک ما از سرطان ریه کمک کند، با این حال نیازمند مطالعات تکمیلی است.

نویسنده مسئول:

Abbas Dosty

مرکز تحقیقات بیوتکنولوژی، واحد

شهر کرد، دانشگاه آزاد اسلامی،

شهر کرد، ایران

Email:

bio.gene84@gmail.com

واژه‌های کلیدی: سرطان ریه، MT1JP، سلول [JHU-1]، TC-1، q-PCR، آپوپتوز

استناد: صمیمی، نوشین؛ دوستی، عباس؛ میرزابی، سیدعباس. شناسایی تأثیر IncRNA MT1JP بر تکثیر، مهاجرت و آپوپتوز سلولی در سلول‌های

سرطان ریه. مجله دانشگاه علوم پزشکی ایلام، شهریور ۱۴۰۲؛ (۳)۳۱:۹۰۹-۹۷.



(۱۵، ۱۶).

یک lncRNA است که بر روی کروموزوم شماره ۱۶ واقع شده و به عنوان یک ژن سرکوبگر تومور معرفی شده است که سطح بیان P53 را تنظیم می‌کند. علاوه بر این لوکوس MT1JP با چند جزیره SNP ها و همچنین دسته‌ای از جایگاه‌های حساس به آنزیم‌های DNase مرتبط است. مطالعات نشان داده است که MT1JP در بافت توموری نسبت به بافت طبیعی کاهش بیان دارد، اما نقش MT1JP همچنان در سرطان ریه ناشناخته باقی مانده است (۱۷). هدف از این مطالعه شناسایی اثر افزایش بیان MT1JP در مهاجرت، آپوپتوز و تغییر بیان ژن‌های دخیل در مسیر آپوپتوز بود.

مواد و روش‌ها

در پژوهش حاضر کار با رده سلولی انجام شد و مقاله حاضر برگرفته از رساله دکتری نویسنده اول با کد اخلاق IR.IAU.SHK.REC.1401.038 می‌باشد.

تهیه پلاسمید

در این تحقیق سه پلاسمید مورد استفاده قرار گرفت. پلاسمید نوترکیب pcDNA3.1(+)-MT1JP حامل ژن Plko.1-EGFP-PURO-MT1JP، پلاسمید نوترکیب siRNA حامل siRNA مناسب جهت خاموش کردن بیان ژن MT1JP و پلاسمید خالی pcDNA3.1 (+) به عنوان کنترل. تمام پلاسمیدها از شرکت Generay Biotechnology (شانگهای، چین) تهیه گردید.

پلاسمید pcDNA3.1(+)-MT1JP دارای پرموتور یوکاریوتی است که اجازه بیان ژن را در سلول‌های پستانداران می‌دهد. ژن MT1JP با اندازه ۴۲۰ جفت باز در جایگاه برش دو آنزیم XhoI و BamHI کلون شد. همچنین این پلاسمید حاوی ژن مقاومت به کانامایسین، آمپیسیلین و نثومایسین برای انتخاب سلول‌های E. coli و پستانداران است. پلاسمید siRNA با اندازه ۴۷ جفت باز در جایگاه برش دو آنزیم Agel و EcoRI کلون شد. صحت ساخت پلاسمیدها با استفاده از توالی یابی DNA و هضم آنزیمی توسط شرکت سازنده تأیید شد.

سرطان ریه در واقع سرطان انسان مدرن است زیرا تا قبل از قرن بیست و یکم تنها چند مورد ابتلا از آن مشاهده شد، در حالی که در اواسط قرن بیستم احتمالاً با توجه به افزایش مصرف دخانیات، جهان را تحت تأثیر قرار داد (۱). سرطان ریه یک علت اصلی مرگ ناشی از سرطان محسوب می‌شود، زیرا اکثریت سرطان‌های ریه غیر قابل جراحی هستند (۲). به دلیل تغییر در سبک زندگی و افزایش آلودگی محیط زیست، سرطان ریه به یکی از تومورهای بدخیم با رشد سریع در سراسر جهان تبدیل شده است و آمارها مرگ و میر فراوانی را نشان داده است. مطالعات نشان می‌دهد که استعمال دخانیات، آلودگی محیط زیست و بیماری‌های انسدادی مزمن ریوی همگی از عوامل خطر ابتلا به سرطان ریه هستند (۳، ۴). سرطان ریه سلول غیر کوچک (NSCLC) تقریباً ۸۰ درصد کل موارد سرطان ریه را تشکیل می‌دهد (۵). تقریباً در ۷۰ درصد بیماران مبتلا تا زمانی که سرطان به مرحله پیشرفته برسد، تشخیص داده نمی‌شود و با وجود انجام پرتودمانی، شیمی‌درمانی و درمان مولکولی، بقای این بیماران همچنان کم است (۶). همان‌طور که عنوان شد سرطان ریه علت اصلی مرگ ناشی از سرطان در سراسر جهان است و ۱۵ درصد مبتلایان پس از ۵ سال جان خود را از دست می‌دهند (۷). پیچیدگی مکانیسم‌های بیماری‌زای درگیر به این معنی است که طراحی درمان‌های موثر دشوار است. بنابراین، در کم عمق‌تری از مسیرهای مولکولی زمینه‌ساز چنین بدخیمی‌هایی ضروری است (۸، ۹).

سرطان دارای چندین علامت مشخصه بدخیم است که به دلیل بی‌نظمی شبکه‌های سیگنالینگ (حاصل از اختلال در عملکرد ژن‌های حیاتی) در فرآیندهای سلولی ایجاد می‌شود (۱۰). اخیراً بررسی خصوصیات فیزیکی و شیمیابی RNA های طولانی غیر رمزگذار (lncRNA) در عملکرد سلول‌های سرطانی مطرح است که عمدها از طریق تنظیم آنکوژن‌ها یا ژن‌های سرکوب کننده تومور می‌باشد (۱۱-۱۴). علاوه بر این، تعداد بی‌شماری از مطالعات رابطه بین lncRNA ها NSCLC را برجسته کردند و نشان دادند که lncRNA ها می‌توانند نقش مهمی در تعديل پیشرفت بدخیمی ایفا کنند

تکثیر پلاسمید

باکتری *E. coli* سویه TOP10 از انتیتو پاستور ایران (تهران، ایران) خریداری و در محیط کشت Luria-Bertani (LB) (سیگما) کشت داده شد. سپس به مدت یک شب در دمای ۳۷ درجه سانتی گراد در انکوباتور شیکردار (۱۸۰ دور در دقیقه) انکوبه گردید. پلاسمیدهای نوترکیب نامبرده و پلاسمید خالی با استفاده از روش کلرید کلسیم و شوک حرارتی (۴۲ درجه سانتی گراد برای ۹۰ ثانیه) به درون سلول‌های باکتریایی ترانسفورم شدند. کلنهای ترانسفورم شده در محیط کشت LB آگار (سیگما)، حاوی آمپیسیلین (۳۰ میلی گرم در میلی لیتر) رشد کردند و انتخاب شدند. صحت انجام ترانسفورماسیون با استفاده از روش PCR به کمک پرایمرهای اختصاصی تأیید شد. کلنهای ترانسفورم شده در ۵ میلی لیتر محیط کشت LB Broth حاوی آمپیسیلین در انکوباتور شیکردار (۱۸۰ دور در دقیقه) به مدت یک شب در دمای ۳۷ درجه سانتی گراد کشت شدند (۱۸). DNA پلاسمیدی با استفاده از کیت استخراج پلاسمید (فیورجین، تایوان) طبق دستورالعمل کیت خالص سازی شد. کیفیت پلاسمیدهای استخراج شده توسط نانودرایپ (ترموسايتیفیک ۲۰۰۰، آمریکا) در طول موج ۲۶۰/۲۸۰ نانومتر اندازه گیری شد. صحت پلاسمیدهای استخراج شده توسط واکنش PCR با استفاده از پرایمرهای اختصاصی (siRNA MT1JP و قطعه MT1JP) تأیید شدند. محصولات PCR بر روی ژل آگارز ۱ درصد مارکر ۱ kb (ترموفیشر، امریکا) الکتروفورز شدند.

جدول شماره ۱. توالی پرایمرهای مورد استفاده

نام ژن	توالی پرایمر
GAPDH	F: 5'- GCCAAAAGGGTCATCATCTCTGC -3' R: 5'- GGTCA CGAGTCCTCCACGATAC -3'
MT1JP	F: 5'-GCAAAGGGACGTCGGAGA-3 R: 5'-TCCAGGTTGTGCAGGTTGTT-3'
Bim	F: 5'-TGCAGTTGCTTCAGTACCCATAAT-3' R: 5'-ATCCCCGTGTACTTCCCATCATAAT-3'
AKT	F: 5'-TGGGGAAGATTGGGAAAGGC-3' R: 5'- TCGCCCATTGGCTACATCTC-3'
Bax	F: 5'- AGGTCTTTCCGAGTGGCAGC -3' R: 5'- GCGTCCCAAAGTAGGAGAGGAG -3'

F: 5'- GACGACTTCTCCGCCGCTAC -3' R: 5'- CGGTTCAAGGTACTCAGTCATCCAC -3'	Bcl-2
F: 5'- TCGACTGGGACTTCAAGTAGACG-3' R: 5'- CCAAAGTGGATCTGCTGTCCC-3'	siRNA

کشت با ۱۰٪ FBS کشت شدند.

تست فلوسایوتومتری

برای بررسی اثرات پلاسمیدهای نوترکیب (Plko.1-) و (pcDNA3.1(+)-MT1JP و EGFP-PURO-siRNA پلاسمید خالی بر روی آپوپتوز سلول های TC-1[JHU-1] فلوسایوتومتری با استفاده از کیت تشخیص آپوپتوز FITC Annexin V (BD Biosciences Cat #556547) به طور خلاصه، تعداد $10^5 \times 3$ از هر گروه سلول ترانسفکت شده (با پلاسمیدهای Plko.1-EGFP-PURO-siRNA و pcDNA3.1(+)-MT1JP و پلاسمید خالی) کشت داده شد. سلول ها دو مرتبه با PBS سرد (۷۲ ساعت پس از ترانسفکشن) binding (buffer) قرار داده شدند. سپس فلورسین ایزوتوپیسانات (FITC) و فسفاتیدیل سرین (PI) طبق دستورالعمل کیت اضافه شدند، سلول ها به مدت ۱۵ دقیقه انکوبه شدند و آنالیز سیتو متري آپوپتوز انجام شد.

سنجهش خراش

سلول ها در پلیت ۶ خانه با تراکم $10^5 \times 8$ سلول در هر چاهک کشت داده شدند و میزان ۲ میلی لیتر محیط RPMI حاوی ۱۰ درصد FBS به سلول ها اضافه شد و به مدت ۲۴ ساعت انکوبه شدند. به کمک یک سرمسیر یک خط مستقیم در تک لایه سلولی خراشیده شد. سلول ها سه بار با PBS شسته شدند و با محیط RPMI بدون سرم کشت شدند. در زمان ایجاد خراش و بعد از ۱۲ و ۲۴ ساعت از انکوبه شدن، سلول ها مشاهده و تصویر آنها ثبت گردید.

Reverse transcriptase PCR (RT-PCR)

تام سلولی از سلول های ترانسفکت شده توسط کیت استخراج RNA (RNase plus)، سیناکلون، تهران، ایران) طبق دستورالعمل کیت استخراج شد. کیفیت RNA استخراج شده به وسیله نانودرایپ (ترموساینتیفیک، امریکا) در طول

کشت سلولی

رده سلولی (TC-1[JHU-1](NCBI Code: C569)

از انسستیو پاستور ایران (تهران، ایران) خریداری شد و در فلاسک کشت بافت T25 حاوی محیط RPMI 1640 (بیوایده، تهران، ایران) غنی شده با ۱۰ درصد سرم گاوی جنین (بیوایده، تهران، ایران) و ۱۰۰ واحد آنتی بیوتیک پنی سیلین / استرپتومایسین در هر ۱ میلی لیتر کشت شد. فلاسک در انکوباتور در دمای ۳۷ درجه سانتی گراد و در شرایط 5% CO₂ تا زمانی که سلول ها به تراکم ۸۰-۷۰ درصد برسند، انکوبه شد. در مجموع سه گروه سلولی مورد بررسی قرار گرفتند: [TC-1[JHU-1] ترانسفکت شده با پلاسمید TC-1[JHU-1] (pcDNA3.1(+)-MT1JP) ترانسفکت شده با پلاسمید Plko.1-EGFP-PURO-siRNA و سلول های TC-1[JHU-1] ترانسفکت شده با پلاسمید خالی. سلول ها با استفاده از لیپوفکتامین ۲۰۰۰ (اینویتروژن) با توجه به دستورالعمل شرکت سازنده با پلاسمیدهای نامبرده ترانسفکت شدند. به طور خلاصه، $10^6 \times 3$ سلول در خانه های پلیت ۶ خانه کشت شدند. پس از ۲۴ ساعت (هنگامی که سلول ها به تراکم ۷۵-۵۰ درصد رسیدند) مخلوط حجمی لیپوفکتامین ۲۰۰۰ (۷/۵ میلی گرم در هر چاهک) و پلاسمید (۲/۵ میلی گرم در هر چاهک) در حجم نهایی ۳۰۰ Lm از محیط کشت RPMI (بدون آنتی بیوتیک و FBS) به سلول ها افزوده شد. پلیت کشت در دمای ۳۷ درجه سانتی گراد با ۵٪ CO₂ به مدت ۴ ساعت انکوبه شده، سپس FBS به چاهک ها اضافه شد و پلیت کشت مجدد به مدت ۲۴ ساعت در همان شرایط انکوبه شد. محیط کشت حاوی ۴۰۰ میلی گرم در میلی لیتر نومایسین برای غربالگری سلول های ترانسفکت شده از غیر ترانسفکت شده اضافه شد و به مدت ۷۲ ساعت سلول ها انکوبه شدند. سرانجام، سلول های هر گروه با استفاده از ۰/۲۵ درصد آنزیم Trypsin-EDTA (اینویتروژن) جدا شده و در محیط

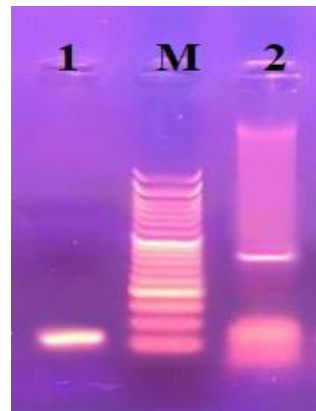
محاسبه بیان ژن ، چرخه‌های آستانه (CT) توسط نرم افزار Rotor-Gene Real-time analysis تغیرات نسبی بیان mRNA ها توسط روش لیواک دDCt₂ با مقایسه هر ژن هدف و ژن مرجع ارزیابی شد. با استفاده از نرم افزار GraphPad Prism آزمون‌های آماری t بیان ژن‌ها بررسی و مقایسه شد. اگر $P\text{-Value} \geq 0.05$ باشد، تفاوت داده‌ها از لحاظ آماری معنی‌دار محسوب می‌شود.

یافته‌های پژوهش

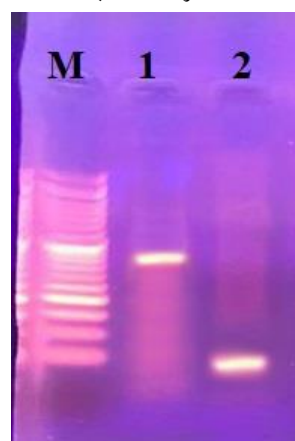
تایید پلاسمید و ترانسفکشن سلولی صحبت ستر پلاسمیدها توسط شرکت سازنده با استفاده از توالی‌بایی DNA و هضم آنزیمی تأیید شد. پس از انتقال پلاسمید نوترکیب به E. coli TOP10، صحت ورود پلاسمید توسط کشت کلنی‌ها بر روی آمپیسیلین و سپس با استفاده از واکنش PCR برای ژن MT1JP و قطعه siRNA ارزیابی شد (شکل شماره ۱) و نتایج نشان داد که پلاسمیدها با موفقیت وارد سلول می‌باشند. رده سلولی [JHU-1]TC-1 با پلاسمیدهای نوترکیب Plko.1-EGFP-PURO-siRNA، pcDNA3.1(+)-MT1JP و پلاسمید خالی به طور جداگانه ترانسفکت شدند (هر پلاسمید به طور جداگانه در یک گروه از سلول‌ها ترانسفکت شد). پس از ترانسفکشن، سلول‌هایی که پلاسمید حاوی ژن MT1JP را دریافت کردند در غلظت ۶۰۰ µg/mL آنتی‌بیوکیک نومایسین و سلول‌هایی که پلاسمید siRNA را دریافت کردند در غلظت ۰/۲۵ میکروگرم در میلی‌لیتر آنتی‌بیوکیک پرومایسین زنده ماندند. پس از اینکه سلول‌ها در محیط حاوی آنتی‌بیوکیک رشد و تکثیر انجام دادند، RNA تام استخراج گردید و cDNA ستر شد. سرانجام محصولات قطعه RT-PCR (جهت تأیید بیان قطعات ژنی ترانسفکت شده) بر روی ژل آگارز ۱ درصد الکتروفورز شدند و نتیجه قطعات ۴۰۸ و ۴۷ جفت بازی برای ژن MT1JP و ۴۰۸ قطعه siRNA را نشان داد (شکل شماره ۲).

موج ۲۶۰/۲۸۰ نانومتر اندازه گیری شد. پس از انجام Treatment به منظور غیرفعال شدن آنزیم DNase، نمونه موجود به مدت ۱۰ دقیقه در دمای ۶۵ درجه‌ی سلسیوس گرمادهی شد. از ۱ mM EDTA (۱ mL) میکروگرم از RNA تام سلولی استخراج شده از هر گروه، ۱ میکرولیتر از oligoDt و (µM ۵۰) random hexamer cDNA ستر شده جهت واکنش RT-PCR و Real time PCR استفاده شد. واکنش RT-PCR جهت بررسی بیان شدن ژن MT1JP در سلول‌های ترانسفکت شده مورد استفاده قرار گرفت (به عنوان جایگزین اقتصادی روش وسترن بلاتینگ). محصولات نهایی با ژل آگارز ۱ درصد الکتروفورز شدند.

q-PCR از روش q-PCR برای ارزیابی تغیرات بیان ژن‌های سلول‌های ترانسفورم شده با پلاسمید -pcDNA3.1(+) و Plko.1-EGFP-PURO-siRNA MT1JP سلول‌های ترانسفورم شده با وکتور خالی استفاده شد. جزئیات پرایمرهای مورد استفاده در جدول شماره ۱ ذکر شده است. ژن GAPDH به عنوان ژن مرجع داخلی استفاده شد. هر گروه در رقت سریال‌های ۱:۵، ۱:۲۵، ۱:۱۲۵ و ۱:۳۱۲۵ تهیه گردید. حجم نهایی برای هر واکنش ۱۳ µL بود که حاوی ۱ µL از هر cDNA نمونه (۵۰ نانوگرم)، ۰/۵ میکرولیتر SYBR green (یکتا تجهیز آزمایش، تهران، ایران)، ۰/۵ میکرولیتر از هر دو پرایمرهای F/R و ۴/۵ میکرولیتر آب مقطر بود. همه واکنش‌ها به صورت تکرار سه‌تایی انجام شدند. برای هر واکنش q-PCR برنامه دمایی زیر انجام شد: ۳ دقیقه دناتوراسیون اولیه در دمای ۹۵ درجه سانتی‌گراد، ۴۰ چرخه شامل ۳۰ ثانیه دناتوراسیون در دمای ۹۴ درجه سانتی‌گراد و ۳۰ ثانیه دمای اتصال پرایمر در دمای ۶۵ درجه سانتی‌گراد و ۳۰ ثانیه طویل سازی در دمای ۷۲ درجه سانتی‌گراد. در نهایت، منحنی ذوب با افزایش دما از ۷۲ درجه سانتی‌گراد به ۹۵ درجه سانتی‌گراد (۱ درجه سانتی‌گراد در ثانیه) رسم شد. جهت



شکل شماره ۱. تابع واکنش PCR برای ژن MT1JP و قطعه siRNA بر روی پلاسمید استخراج شده از سلول‌های E.coli. چاهک شماره ۱ واکنش PCR بر روی پلاسمید حاوی siRNA با اندازه ۴۷ جفت باز، چاهک شماره ۲ واکنش PCR بر روی پلاسمید حاوی MT1JP با اندازه ۴۰۸ جفت باز و مارکر ۵۰ جفت بازی.

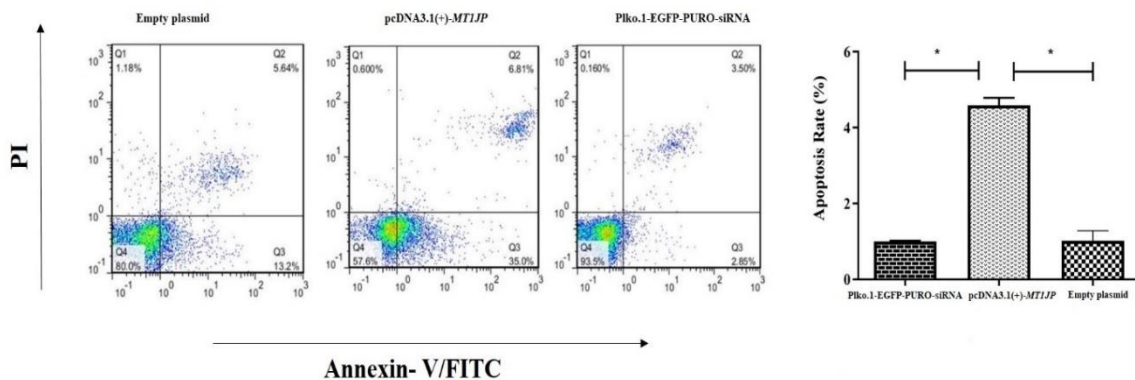


شکل شماره ۲. نتایج واکنش RT-PCR برای ژن MT1JP و قطعه cDNA حاصل از سلول‌های [JHU-1]TC-1 ترانسفکت شده. چاهک شماره ۱ باند ۴۰۸ جفت بازی ژن MT1JP بر روی cDNA سلول ترانسفکت شده با پلاسمید نوترکیب pcDNA3.1(+)-MT1JP چاهک شماره ۲ باند ۴۷ جفت بازی ژن siRNA بر روی cDNA سلول ترانسفکت شده با پلاسمید Plko.1-EGFP-PURO-siRNA نوترکیب و M مارکر ۵۰ جفت بازی.

pcDNA3.1([JHU-1] ۱) ترانسفکت شده با وکتور -(-)MT1JP، میزان آپوتوز اولیه ۳۱/۶۵ درصد (در مقابل % ۳/۵ در گروه ترانسفکت شده با وکتور (siRNA) و آپوتوز ثانویه ۱۹/۶۱ درصد (در مقابل % ۳/۹۰ در گروه ترانسفکت شده با وکتور (siRNA) مشاهده شد. در صورتی که میزان نکروز در هر گروه بسیار ناچیز گزارش شد.

نتایج بررسی آپوتوز

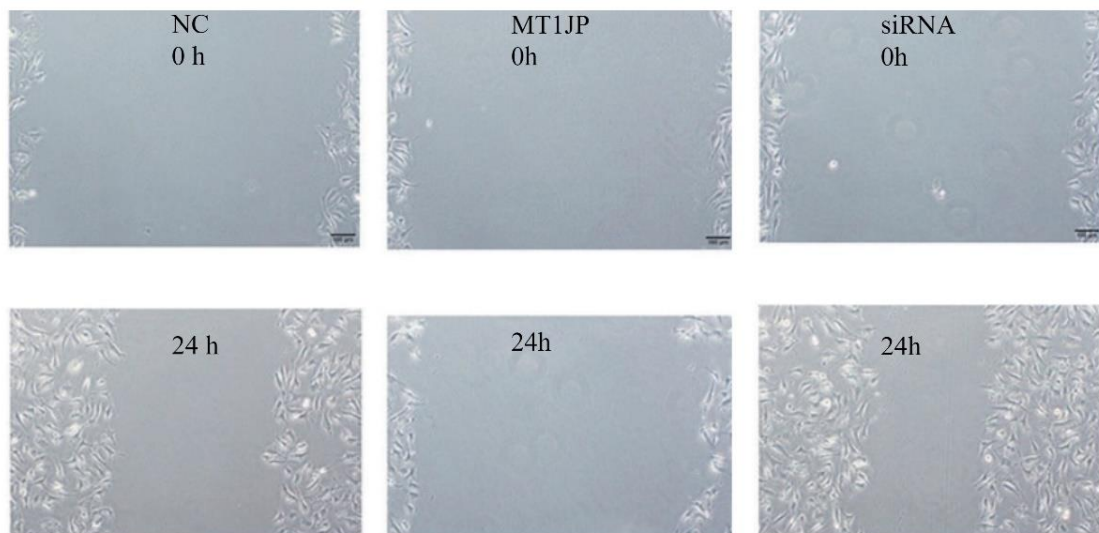
طبق شکل شماره ۳، نتایج فلوسایتومتری نشان داد که در سلول‌های ترانسفکت شده با وکتورهای نوترکیب pcDNA3.1(+)-MT1JP در مقایسه با سلول‌هایی که با وکتور siRNA ترانسفورم شده‌اند، میزان آپوتوز به طور معنی‌داری افزایش داشته است ($p < 0.05$). در سلول‌های TC-



شكل شماره ۳. نتایج آپوپتوز حاصل از pcDNA3.1(+)-MT1JP و Plko.1-EGFP-PURO-siRNA تضییص آپوپتوز و نکروز سلولی با استفاده از کیت تشخیص .FITC Annexin V apoptosis

Q1: درصد سلول‌های نکروز، Q2: درصد سلول‌ها در آپوپتوز ثانویه، Q3: درصد سلول‌ها در آپوپتوز اولیه، Q4: درصد سلول‌های زنده.

که این تغییر می‌تواند هم تحت تأثیر مهاجرت سلولی و هم تکثیر سلولی باشد. در این آزمایش سلول‌های تیمار شده با وکتور حاوی Plko.1-EGFP-PURO-siRNA گذشت ۲۴ ساعت، سرعت تکثیر و مهاجرت سلولی بالاتری را نشان دادند. در مقابل سلول‌های ترسنفکت شده با وکتور حاوی MT1JP، نرخ مهاجرت و تکثیر سلولی اندکی را نشان دادند (شکل شماره ۴).



شكل شماره ۴. نتایج تست ترمیم خراش. بیان بیش از حد IncRNA MT1JP مهاجرت سلول‌های TC-1[JHU-1] را مهار می‌کند.

نتایج مربوط به مهاجرت

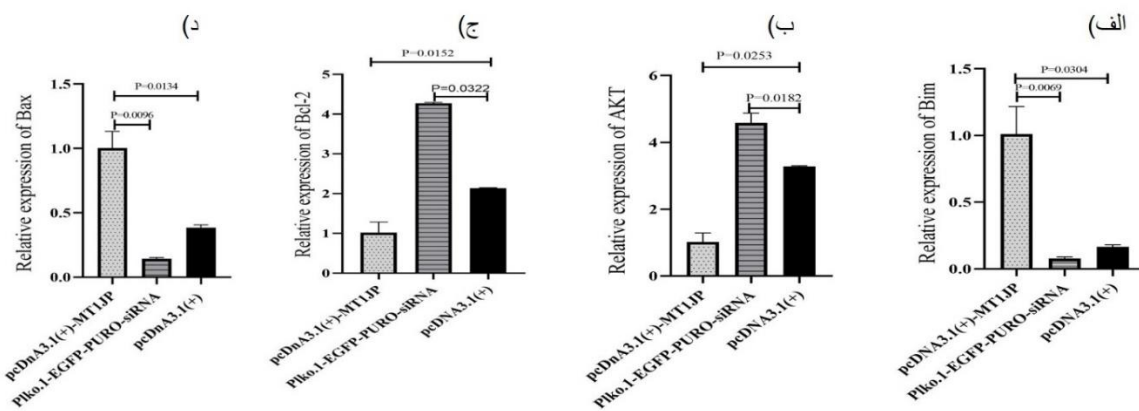
تست ترمیم خراش و میزان بسته شدن شکاف رایج ترین معیاری است که برای اندازه‌گیری مهاجرت سلولی استفاده می‌شود. تصاویر در لحظه ایجاد خراش ثبت شد، سپس ۲۴ ساعت سلول‌ها درون انکوباتور قرار داده شدند. پس از گذشت ۲۴ ساعت مجدد از سلول‌ها تصویر برداری صورت گرفت. مقایسه تصاویر نشان دهنده تغییر در ناحیه شکاف بود

Plko.1-EGFP ترنسفکت شده با پلاسمید PURO-siRNA در مقایسه با سلول‌های ترنسفکت شده با پلاسمید خالی افزایش بیان معنی‌داری را نشان داده است ($p = 0.0182$) (شکل شماره ۵-ب).

در این مطالعه بیان ژن‌های Bax و Bcl-2 به عنوان ژن‌های آپوپتوز نیز بررسی شد. نتایج نشان داد که ژن Bax به عنوان یک ژن پروآپوپتویک در سلول‌های TC-1[JHU-1] ترنسفکت شده با پلاسمید نوترکیب شده با پلاسمید حاوی siRNA افزایش بیان معنی‌داری داشته است ($p = 0.069$) (شکل شماره ۵-ج). در صورتی که ژن Bcl-2 به عنوان یک آنکوژن، در سلول‌های ترنسفکت شده با پلاسمید pcDNA3.1(+)-MT1JP در مقایسه با سلول‌های ترنسفکت شده با پلاسمید Plko.1-EGFP-PURO-siRNA کاهش بیان معنی‌داری ($p = 0.109$) را نشان داد (شکل شماره ۵-د).

نتایج واکنش q-PCR

یافته‌ها نشان داد که ژن AKT در سلول‌های mRNA ژن‌های Bim، Bax، AKT و Bcl-2 توسط ژن GAPDH (به عنوان ژن خانه‌دار) نرمال شد و در سلول‌های [TC-1[JHU-1] ترنسفکت شده با پلاسمیدهای نوترکیب MT1JP، pcDNA3.1(+)-MT1JP و siRNA با پلاسمید TC-1[JHU-1] ترنسفکت شده با پلاسمید نوترکیب MT1JP در مقایسه با سلول‌های ترنسفکت شده با پلاسمید خالی Bim در سلول‌های pcDNA3.1(+)-MT1JP در مقایسه با سلول‌های ترنسفکت شده با پلاسمید MT1JP خالی بررسی شد. ژن Bim در سلول‌های [TC-1[JHU-1] ترنسفکت شده با پلاسمید نوترکیب MT1JP در مقایسه با سلول‌های ترنسفکت شده با سلول‌های [TC-1[JHU-1] ترنسفکت شده با پلاسمید Plko.1-EGFP-PURO-siRNA در مقایسه با سلول‌های ترنسفکت شده با پلاسمید خالی کاهش بیان معنی‌داری را نشان داد ($p = 0.069$) (شکل شماره ۵-الف). در صورتی که همین ژن در سلول‌های Plko.1-EGFP-PURO-siRNA شده با پلاسمید خالی کاهش بیان معنی‌داری را نشان داد ($p = 0.109$). در صورتی که ژن AKT در سلول‌های TC-1[JHU-1] ترنسفکت شده با پلاسمید نوترکیب pcDNA3.1(+)-MT1JP در مقایسه با سلول‌های ترنسفکت شده با پلاسمید خالی کاهش بیان معنی‌داری را داشته است ($p = 0.0253$). در صورتی که ژن AKT در سلول‌های TC-1[JHU-1] ترنسفکت شده با پلاسمید نوترکیب pcDNA3.1(+)-MT1JP در مقایسه با سلول‌های ترنسفکت شده با پلاسمید خالی کاهش بیان معنی‌داری را داشته است ($p = 0.0182$). در صورتی که ژن Bcl-2 در سلول‌های TC-1[JHU-1] ترنسفکت شده با پلاسمید نوترکیب pcDNA3.1(+)-MT1JP در مقایسه با سلول‌های ترنسفکت شده با پلاسمید خالی کاهش بیان معنی‌داری را داشته است ($p = 0.0322$). در صورتی که ژن Bcl-2 در سلول‌های TC-1[JHU-1] ترنسفکت شده با پلاسمید pcDNA3.1(+)-MT1JP در مقایسه با سلول‌های ترنسفکت شده با پلاسمید خالی کاهش بیان معنی‌داری را داشته است ($p = 0.0152$). در صورتی که ژن Bcl-2 در سلول‌های TC-1[JHU-1] ترنسفکت شده با پلاسمید N-EGFP-PURO-siRNA در مقایسه با سلول‌های ترنسفکت شده با پلاسمید خالی کاهش بیان معنی‌داری را داشته است ($p = 0.0096$). در صورتی که ژن Bcl-2 در سلول‌های TC-1[JHU-1] ترنسفکت شده با پلاسمید pcDNA3.1(+) در مقایسه با سلول‌های ترنسفکت شده با پلاسمید خالی کاهش بیان معنی‌داری را داشته است ($p = 0.0134$).



شکل شماره ۵. (الف) تغییر بیان ژن Bim در سلول‌های ترنسفکت شده با پلاسمید pcDNA3.1(+)-MT1JP در مقایسه با پلاسمید خالی افزایش بیان معنی‌داری را نشان داد ($p < 0.05$). (ب) تغییر بیان ژن AKT در سلول‌های ترنسفکت شده با پلاسمید pcDNA3.1(+)-MT1JP در مقایسه با پلاسمید خالی کاهش بیان معنی‌داری را نشان داد ($p = 0.0253$). (ج) تغییر بیان ژن Bcl-2 در سلول‌های Bcl-2 در سلول‌های ترنسفکت شده با پلاسمید خالی افزایش بیان معنی‌داری را نشان داد ($p < 0.05$). (د) تغییر بیان ژن Bax در سلول‌های Tc-1[JHU-1] ترنسفکت شده با پلاسمید pcDNA3.1(+)-MT1JP در مقایسه با پلاسمید خالی افزایش بیان معنی‌داری را نشان داد ($p = 0.0182$). (پ) تغییر بیان ژن Bax در سلول‌های Tc-1[JHU-1] ترنسفکت شده با پلاسمید pcDNA3.1(+)-MT1JP در مقایسه با پلاسمید خالی کاهش بیان معنی‌داری را نشان داد ($p = 0.0322$). (ز) تغییر بیان ژن Bax در سلول‌های Tc-1[JHU-1] ترنسفکت شده با پلاسمید pcDNA3.1(+)-MT1JP در مقایسه با پلاسمید خالی کاهش بیان معنی‌داری را نشان داد ($p = 0.0152$). (آ) تغییر بیان ژن Bax در سلول‌های Tc-1[JHU-1] ترنسفکت شده با پلاسمید pcDNA3.1(+)-MT1JP در مقایسه با پلاسمید خالی کاهش بیان معنی‌داری را نشان داد ($p = 0.0096$). (ب) تغییر بیان ژن Bax در سلول‌های Tc-1[JHU-1] ترنسفکت شده با پلاسمید pcDNA3.1(+) در مقایسه با سلول‌های Tc-1[JHU-1] ترنسفکت شده با پلاسمید خالی کاهش بیان معنی‌داری را نشان داد ($p = 0.0134$).

بحث و نتیجه‌گیری

سلولی سرطان پروستات PC-3 و RV1۲۲ با پلاسمید pcDNA3 حامل ژن GAS5 ترانسفکت شد و سپس سلول‌ها مورد بررسی قرار گرفتند و مشخص شد که آپوپتوز در هر دو رده سلولی تحت تاثیر بیان بیش از حد GAS5 افزایش یافته است (۲۶).

LncRNA ها در ایجاد سرطان ریه نیز نقش دارند اما مکانیسم عملکرد خاص آنها به طور کامل روشن نشده است. در این مطالعه، سعی شد کارآیی یک پلاسمید نوترکیب حاوی LncRNA MT1JP بر روی بیان ژن‌های درگیر در آپوپتوز و تکثیر سلول‌های [TC-1]JHU-1 ارزیابی شود. ژن MT1JP در وکتور بیانی یوکاریوتی (pcDNA3.1(+)) قرار گرفت. علاوه بر این، پلاسمید حاوی siRNA نیز طراحی و تهیه گردید. پلاسمیدهای نوترکیب ساخته شده در باکتری E. coli ترانسفورم و تکثیر شدند. رده سلولی [TC-1]JHU-1 با استفاده از لیپوفکامین با پلاسمیدهای نامبرده ترانسفکت شد و سلول‌ها غربالگری شدند. RT-PCR بیان موقعیت آمیز ژن موردنظر را در سلول‌های [TC-1]JHU-1 ترانسفکت شده را تأیید نمود. مهاجرت و آپوپتوز پس از افزایش و کاهش بیان MT1JP مورد بررسی قرار گرفت. سپس بیان ژن‌های Bim، AKT و Bcl-2 (ژن‌های دخیل در فرآیند آپوپتوز، رشد، تکثیر، بقا و رگ زایی (۶، ۲۷) در سلول‌های مورد بررسی توسط Real time PCR تعیین شد.

یافته‌ها نشان داد که بیان ژن Bim در سلول‌های ترانسفکت شده با pcDNA3.1(+)-MT1JP به طور قابل توجهی افزایش یافت، در صورتی که در سلول‌های ترانسفکت شده با siRNA کاهش بیان را نشان داد. نتایج گویای این مطلب بود که بیان ژن Bim تحت تاثیر بیان LncRNA MT1JP افزایش یافته است و می‌توان عنوان کرد که سلول به سمت آپوپتوز پیشروی کرده است. از سویی دیگر تجزیه و تحلیل نتایج نشان داد که، بیان ژن AKT در سلول‌های ترانسفکت شده با pcDNA3.1(+)-MT1JP به طور قابل توجهی کاهش یافت، در صورتی که در سلول‌های ترانسفکت شده با siRNA افزایش بیان را نشان داد که می‌توان عنوان کرد که تکثیر و رشد سلول‌ها تحت تاثیر بیان بالای MT1JP مهار

امروزه سرطان یکی از علل عمدۀ مرگ و میر در جوامع بشری است (۱۹). سرطان، بیماری پیچیده‌ای است که بیان ژن در آن به صورت نامتعادل انجام می‌پذیرد. شواهد نشان داده‌اند که بخش چشم‌گیری از عامل‌های مستعد کننده به سرطان را نمی‌توان به تغییر در توالی‌های کد کننده پروتئین نسبت داد. شناسایی شمار زیادی از lncRNAها در انسان، به پرده برداری از جایگاه این مولکول‌ها در آسیب‌شناسی سرطان و نقش آن‌ها به عنوان اجزای مهم در توموزایی کمک شیانی نموده است (۲۰). در حال حاضر در درمان سرطان، شیمی درمانی به دلیل اثر بخشی آن در کشتن سلول‌های بدخیم مورد استفاده قرار می‌گیرد اما از سویی عوارض جانبی آن از جمله اثر بر روی سلول‌های طبیعی، شروع مقاومت دارویی و عود مجدد بدخیمی از محدودیت‌های شیمی درمانی است. برای غلبه بر این محدودیت‌ها روش‌های مختلفی مورد بررسی قرار گرفته است (۲۱).

lncRNA ها در سال‌های اخیر توجهات زیادی را به خود جلب کرده‌اند. به نظر می‌رسد برخی از lncRNA-ها به عنوان اونکوژن عمل می‌کنند. به عنوان مثال، یانگ و همکاران mRNA Myc باعث پایداری lncRNA GHET می‌شود، بدین ترتیب بیان پروتئین c-Myc را بالا می‌برد و تکثیر سلول‌های سرطانی معده را تقویت می‌کند (۲۲). همچنین مطالعه وانگ و همکاران نشان داد که lncRNA MALAT1 از طریق SF2 / ASF به طور قابل توجهی تکثیر سلول‌های سرطانی معده را تحریک می‌کند (۲۳). محققان دیگر گزارش کردند که lncRNA ها به عنوان ژن‌های سرکوب کننده تومور عمل می‌کنند. هان و همکاران در lncRNA LEIGC مطالعه‌ای درباره سرطان معده دریافتند که از انتقال اپیتلیال - مزانشیمیال سلول‌ها جلوگیری می‌کند و در مهار تکثیر سلول‌های توموری نقش دارد (۲۴). در یک مطالعه نشان داده شد که بیان بیش از حد GAS5 در رده سلول A498 RCC، سبب مهار تکثیر سلولی، آپوپتوز سلولی و همچنین توقف چرخه سلولی می‌شود (۲۵). علاوه بر این، در مطالعه دیگری که توسط پیکارد در سال ۲۰۱۳ انجام شد، رده‌های



IncRNA MT1JP در سلول‌های TC-1[JHU-1] می‌تواند منجر به تغییر بیان ژن‌های دخیل در گسترش، تکثیر و آپوپتوز سلولی شود و در نهایت منجر به راه اندازی آپوپتوز سلولی و نکروز شود.

یافته‌های این پژوهش نشان داد که حضور MT1JP سبب تغییر بیان ژن‌های دخیل در پیشرفت آپوپتوز می‌شود، از مهاجرت سلولی جلوگیری می‌کند و باعث افزایش آپوپتوز IncRNA می‌شود؛ در حالی که در زمان خاموش سازی MT1JP توسط siRNA MT1JP جهت پیشرفت سلول‌های سرطان نشان دادند. با توجه به نتایج بدست آمده از تحقیق فوق امید است که این مطالعه راهکاری نوین در جهت مقابله با سرطان ریه باشد.

تشکر و قدردانی

مقاله حاضر برگرفته از رساله دکتری نویسنده اول از دانشگاه آزاد شهرکرد می‌باشد. بنابراین، از همه همکاران پژوهشی و کسانی که ما را در انجام این پژوهش همراهی نموده‌اند تقدیر و تشکر می‌شود.

تعارض منافع

بدین وسیله نویسنده‌گان اعلام می‌نمایند که نتایج این پژوهش با منافع هیچ سازمان یا افرادی تعارض ندارد.

کد اخلاق: IR.IAU.SHK.REC.1401.038

References

- Mohammad Ganji Sh, Negrini M, Khatibi MT, Tavallaie M, Mohammadi Abgarmi Z, Pornour M, Alami M, et al. Epigenetic study of lung cancer. *Appl Biol* 2018; 8:85-98.
- Kim JY, Ballato J, Foy P, Hawkins T, Wei Y, Li J, et al. Apoptosis of lung carcinoma cells induced by a flexible optical fiber-based cold microplasma. *Biosens Bioelectron* 2011; 28:333-8. doi: 10.1016/j.bios.2011.07.039.
- Hong QY, Wu GM, Qian GS, Hu CP, Zhou JY, Chen LA, et al. Lung Cancer Group of Chinese Thoracic Society; Chinese Alliance Against Lung Cancer. Prevention and management of lung cancer in China. *Cancer* 2015;121 Suppl 17:3080-8. doi: 10.1002/cncr.29584..
- de Martel C, Georges D, Bray F, Ferlay J, Clifford GM. Global burden of cancer attributable to infections in 2018: a worldwide incidence analysis. *Lancet Glob Health* 2020;8: e180-e190. doi: 10.1016/S2214-109X (19)30488-7.
- Bouillet P, Zhang LC, Huang DC, Webb GC, Bottema CD, Shore P, et al. Gene structure alternative splicing, and chromosomal localization of pro-apoptotic Bcl-2 relative Bim. *Mamm Genome* 2001; 12:163-8. doi: 10.1007/s00350010242.
- Ma J, Yan H, Zhang J, Tan Y, Gu W. Long-Chain Non-Coding RNA (lncRNA) MT1JP Suppresses Biological Activities of Lung Cancer by Regulating miRNA-423-3p/Bim Axis. *Med Sci Monit* 2019; 25:511426. doi: 10.12659/MSM.914387.
- Bray F, Ferlay J, Soerjomataram I, Siegel RL, Torre LA, Jemal A. Global cancer statistics 2018: GLOBOCAN estimates of incidence and mortality worldwide for 36 cancers in 185 countries. *Cancer Res* 2018; 78:6918-39. doi: 10.1158/0008-5473.CAN-18-0791.

شده است. همچنین بیان ژن Bax و ژن Bcl-2 در سلول‌های تنسفکت شده با پلاسمید حاوی MT1JP به ترتیب، افزایش و کاهش داشت.

نتایج تست FITC Annexin V apoptosis و فلوسایتومتری نشان داد که میزان مرگ سلول ناشی از آپوپتوز در سلول‌های تنسفکت شده با وکتور نوترکیب pcDNA3.1(+)-MT1JP در مقایسه با سلول‌های تنسفکت شده با پلاسمید Plko.1-EGFP-PURO-siRNA و پلاسمید خالی بیشتر بود ($p < 0.05$). بنابراین، مشاهدات این مطالعه نقش قابل توجه pcDNA3.1 (+)-MT1JP را در آپوپتوز تأیید نمود.

در همین راستا، لیو و همکاران گزارش کردند که MT1JP پیشرفت تومور را از طریق یک مسیر سیگنالینگ مربوط به p53 سرکوب می‌کند (۲۸). گزارش دیگری نشان داد که MT1JP می‌تواند miR-214-3p miR-214-3p را به RUNX3 متصل کرده و بیان RUNX3 را تنظیم نموده و در توموزایی و پیشرفت سرطان معده در گیر است (۲۹). علاوه بر این، FBXW7 به MT1JP متعلق می‌شود و بیان miR-92a-3p به تنظیم می‌کند و در نتیجه در پیشرفت سرطان معده دخالت دارد (۳۰). زانگ چان و همکاران، در مطالعه‌ای پلاسمید نوترکیبی حاوی lncRNA MT1JP طراحی و درون سلول‌های سرطانی lncRNA MT1JP مطالعه تنسفکت کردند. نتایج نشان داد که معده نقش مهاری در گسترش و مهاجرت سلولی در سرطان معده ایفا می‌کند (۳۱). یافته‌های ما نیز نشان می‌دهد که بیان

attributable to infections in 2018: a worldwide incidence analysis. *Lancet Glob Health* 2020;8: e180-e190. doi: 10.1016/S2214-109X (19)30488-7.

- Bouillet P, Zhang LC, Huang DC, Webb GC, Bottema CD, Shore P, et al. Gene structure alternative splicing, and chromosomal localization of pro-apoptotic Bcl-2 relative Bim. *Mamm Genome* 2001; 12:163-8. doi: 10.1007/s00350010242.
- Ma J, Yan H, Zhang J, Tan Y, Gu W. Long-Chain Non-Coding RNA (lncRNA) MT1JP Suppresses Biological Activities of Lung Cancer by Regulating miRNA-423-3p/Bim Axis. *Med Sci Monit* 2019; 25:511426. doi: 10.12659/MSM.914387.
- Bray F, Ferlay J, Soerjomataram I, Siegel RL, Torre LA, Jemal A. Global cancer statistics 2018: GLOBOCAN estimates of incidence and mortality worldwide for 36 cancers in 185 countries. *Cancer Res* 2018; 78:6918-39. doi: 10.1158/0008-5473.CAN-18-0791.

- and mortality worldwide for 36 cancers in 185 countries. CA Cancer J Clin 2018; 68:394-424. doi: 10.3322/caac.21492.
8. Chen Z, Fillmore CM, Hammerman PS, Kim CF, Wong KK. Non-small-cell lung cancers: a heterogeneous set of diseases. Nat Rev Cancer 2014; 14:535-46. doi: 10.1038/nrc3775.
 9. Thomas A, Liu SV, Subramaniam DS, Giaccone G. Refining the treatment of NSCLC according to histological and molecular subtypes. Nat Rev Clin Oncol 2015; 12:511-26. doi: 10.1038/nrclinonc.2015.90.
 10. Hanahan D, Weinberg RA. Hallmarks of cancer: the next generation. Cell 2011; 144:646-74. doi: 10.1016/j.cell.2011.02.013.
 11. Safarpour-Dehkordi M, Doosti A, Jami MS. Integrative Analysis of lncRNAs in Kidney Cancer to Discover A New lncRNA (LINC00847) as A Therapeutic Target for Staphylococcal Enterotoxin tst Gene. Cell J 2020; 22:101-9. doi: 10.22074/cellj.2020.6996.
 12. Geisler S, Coller J. RNA in unexpected places: long non-coding RNA functions in diverse cellular contexts. Nat Rev Mol Cell Biol 2013; 14:699-712. doi: 10.1038/nrm3679.
 13. Prensner JR, Chinnaian AM. The emergence of lncRNAs in cancer biology. Cancer Discov 2011; 1:391-407. doi: 10.1158/2159-8290.CD-11-0209.
 14. Schmitt AM, Chang HY. Long Noncoding RNAs in Cancer Pathways. Cancer Cell 2016; 29:452-63. doi: 10.1016/j.ccr.2016.03.010.
 15. Chen J, Wang R, Zhang K, Chen LB. Long non-coding RNAs in non-small cell lung cancer as biomarkers and therapeutic targets. J Cell Mol Med 2014; 18:2425-36. doi: 10.1111/jcmm.12431.
 16. Wei MM, Zhou GB. Long Non-coding RNAs and Their Roles in Non-small-cell Lung Cancer. Genomics Proteomics Bioinformatics 2016; 14:280-88. doi: 10.1016/j.gpb.2016.03.007.
 17. Liu L, Yue H, Liu Q, Yuan J, Li J, Wei G, et al. LncRNA MT1JP functions as a tumor suppressor by interacting with TIAR to modulate the p53 pathway. Oncotarget 2016; 7:15787-800. doi: 10.18632/oncotarget.7487.
 18. Safarpour-Dehkordi M, Doosti A, Jami MS. Impacts of the Staphylococcal Enterotoxin H on the Apoptosis and lncRNAs in PC3 and ACHN. Mol Gen Microbiol Virol 2020; 35:180-88. doi: 10.3103/S0891416820030076.
 19. Esmail Nasab N, Moradi G, Zareie M, Ghaderi E, Gheytasi B. Survey of epidemiologic status and incidence rates of cancers in the patients above 15 years old in Kurdistan province. S JK U 2007; 11:18-25.
 20. Qu Z, Adelson DL. Identification and comparative analysis of ncRNAs in human, mouse and zebrafish indicate a conserved role in regulation of genes expressed in brain. PLoS One 2012;7: e52275. doi: 10.1371/journal.pone.0052275.
 21. Harrington CB, Hansen JA, Moskowitz M, Todd BL, Feuerstein M. It's not over when it's over: long-term symptoms in cancer survivors--a systematic review. Int J Psychiatry Med 2010; 40:163-81. doi: 10.2190/PM.40.2.c.
 22. Yang F, Xue X, Zheng L, Bi J, Zhou Y, Zhi K, et al. Long non-coding RNA GHET1 promotes gastric carcinoma cell proliferation by increasing c-Myc mRNA stability. FEBS J 2014; 281:802-13. doi: 10.1111/febs.12625.
 23. Wang J, Su L, Chen X, Li P, Cai Q, Yu B, et al. MALAT1 promotes cell proliferation in gastric cancer by recruiting SF2/ASF. Biomed Pharmacother 2014; 68:557-64. doi: 10.1016/j.biopha.2014.04.007.
 24. Han Y, Ye J, Wu D, Wu P, Chen Z, Chen J, et al. LEIGC long non-coding RNA acts as a tumor suppressor in gastric carcinoma by inhibiting the epithelial-to-mesenchymal transition. BMC Cancer 2014; 14:932. doi: 10.1186/1471-2407-14-932.
 25. Qiao HP, Gao WS, Huo JX, Yang ZS. Long non-coding RNA GAS5 functions as a tumor suppressor in renal cell carcinoma. Asian Pac J Cancer Prev 2013; 14:1077-82. doi: 10.7314/apcp.2013.14.2.1077.
 26. Pickard MR, Mourtada-Maarabouni M, Williams GT. Long non-coding RNA GAS5 regulates apoptosis in prostate cancer cell lines. Biochim Biophys Acta 2013; 1832:1613-23. doi: 10.1016/j.bbadic.2013.05.005.
 27. Ghafouri-Fard S, Azari I, Hashemian F, Nejatizadeh A, Taheri M. No Association Between AKT1 Polymorphisms and Methamphetamine Addiction in Iranian Population. J Mol Neurosci 2020; 70:303-7. doi: 10.1007/s12031-019-01413-w.
 28. Liu L, Yue H, Liu Q, Yuan J, Li J, Wei G, et al. LncRNA MT1JP functions as a tumor suppressor by interacting with TIAR to modulate the p53 pathway. Oncotarget 2016; 7:15787-800. doi: 10.18632/oncotarget.7487
 29. Xu Y, Zhang G, Zou C, Zhang H, Gong Z, Wang W, et al. LncRNA MT1JP Suppresses Gastric Cancer Cell Proliferation and Migration Through MT1JP/MiR-214-3p/RUNX3 Axis. Cell Physiol Biochem 2018; 46:2445-59. doi: 10.1159/000489651.
 30. Zhang G, Li S, Lu J, Ge Y, Wang Q, Ma G, et al. LncRNA MT1JP functions as a ceRNA in regulating FBXW7 through competitively

- binding to miR-92a-3p in gastric cancer. Mol Cancer 2018; 17:87. doi: 10.1186/s12943-018-0829-6.
31. Lv Z, Zhang Y, Yu X, Lin Y, Ge Y. RETRACTED: The function of long non-coding RNA MT1JP in the development and progression of gastric cancer. Pathol Res Pract 2018; 214:1218-23. doi: 10.1016/j.prp.2018.07.001.